

# Des fractales en *Crocodile BASIC* (II)

## 1. Introduction

Après avoir vu dans l'article précédent les ensembles de Mandelbrot et de Julia générés par la fonction classique  $f(z) = z^2 + c$ , nous allons maintenant faire varier l'exposant pour obtenir des fonctions de la forme  $f(z) = z^p + c$ . Les images illustrant cet article ont été tracées par le programme **mandelmult**.

## 2. Aspects théoriques et graphiques

### 2.1. Calcul de la fonction puissance

Si  $p$  est entier,  $z^p$  se calcule par multiplications successives, comme pour les réels.

Dans le cas contraire, on écrit le nombre complexe  $z$  sous forme exponentielle :

$$z = x + iy = R (\cos \theta + i \sin \theta) = R \exp(i \theta)$$

où :  $i$  désigne le nombre complexe  $(0,1)$

$R$  et  $\theta$  désignent le module et l'argument de  $z$ , soit  $R = \sqrt{x^2 + y^2}$  et  $\theta = \text{atan2}(y / x)$ .

Remarquons que  $\theta$  est défini à  $2k\pi$  près, donc  $z = R \exp[i(\theta + 2k\pi)]$

On en déduit :  $z^p = R^p \exp[i p(\theta + 2k\pi)] = R^p [\cos p(\theta + 2k\pi) + i \sin p(\theta + 2k\pi)]$

Si  $p$  n'est pas entier,  $z^p$  pourra prendre plusieurs valeurs. En pratique, on fixe  $k = 0$ , ce qui permet de n'avoir qu'une seule valeur de  $z^p$ . Mais ce choix d'une valeur unique va se traduire par des discontinuités sur le graphique.

### 2.2. Itérations, estimateur de distance et *continuous dwell*

Les diverses formules se déduisent facilement de celles que nous avons vues pour le cas  $z^2 + c$ . On obtient :

- pour les itérations :

$$z_n = (z_{n-1})^p + c \quad \text{avec } z_0 = 0 \text{ pour Mandelbrot et } z_0 = z_{\text{pixel}} \text{ pour Julia}$$

- pour l'estimateur de distance :

$$z'_n = p (z_{n-1})^{p-1} z'_{n-1} + 1 \quad \text{avec } z'_0 = 0 \text{ pour Mandelbrot}$$

$$z'_n = p (z_{n-1})^{p-1} z'_{n-1} \quad \text{avec } z'_0 = 1 \text{ pour Julia}$$

puis :  $D = (p |z_n| \ln |z_n|) / |z'_n|$

- pour le *continuous dwell* :

$$\text{Dwell} = \text{Iter} + \log_p (\ln \text{Esc} / \ln |z_n|)$$

où la fonction  $\log_p$  est le logarithme de base  $p$ , tel que  $\log_p z = \ln z / \ln p$ .

### 2.3. Choix de la valeur initiale

Il reste à justifier le choix de  $z_0 = 0$  pour l'ensemble de Mandelbrot. On montre en effet que  $z_0$  doit être un « point critique », c'est-à-dire une valeur qui annule la dérivée  $f(z)$ . Notez bien qu'il s'agit là de la dérivée par rapport à  $z$  et non pas de la dérivée par rapport à  $c$  comme dans l'estimateur de distance.

Or dans le cas présent on a :

$$f(z) = p z^{p-1} \quad \text{donc si } p > 1, f(z) = 0 \Rightarrow z = 0$$

Cela définit les conditions requises pour avoir un tracé correct.

### 2.4. Symétrie par rapport à l'axe Ox

Les règles que nous avons vues dans l'article précédent pour la formule  $z^2 + c$  sont encore valables pour la formule  $z^p + c$  :

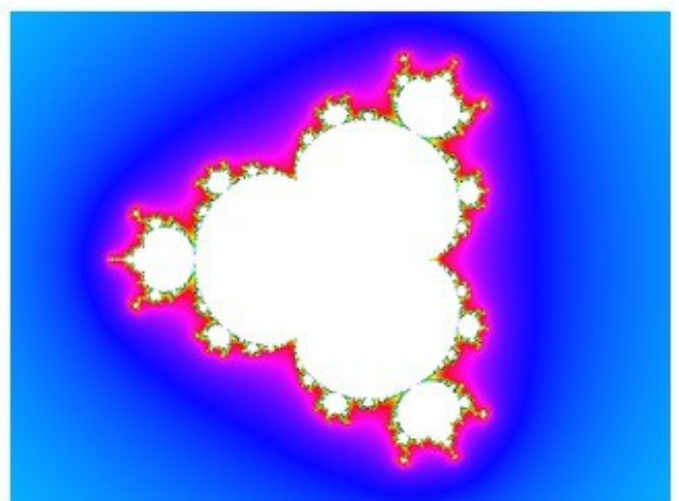
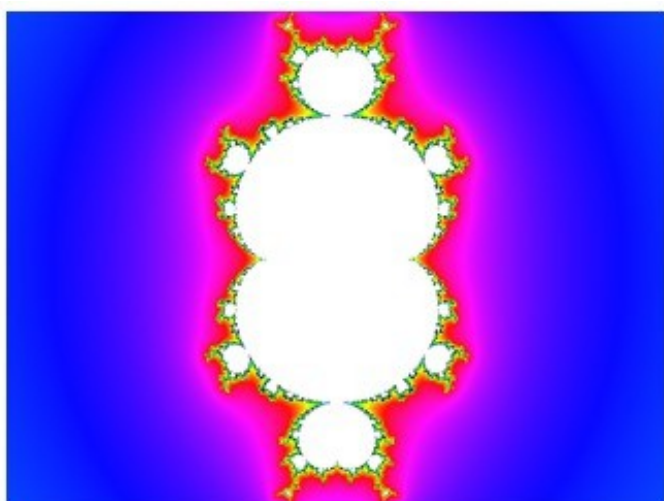
- les ensembles de Mandelbrot sont symétriques par rapport à l'axe Ox
- les ensembles de Julia sont symétriques si le nombre  $c$  est réel

## 3. Variation de l'exposant

### 3.1. Cas d'un exposant entier

Pour les valeurs entières de  $p (> 2)$  l'ensemble de Mandelbrot est centré en  $(0,0)$  et comporte  $(p - 1)$  lobes symétriques. Quand  $p$  est impair, l'un de ces lobes est situé sur l'axe des  $x$  négatifs. Ce lobe est absent quand  $p$  est pair.

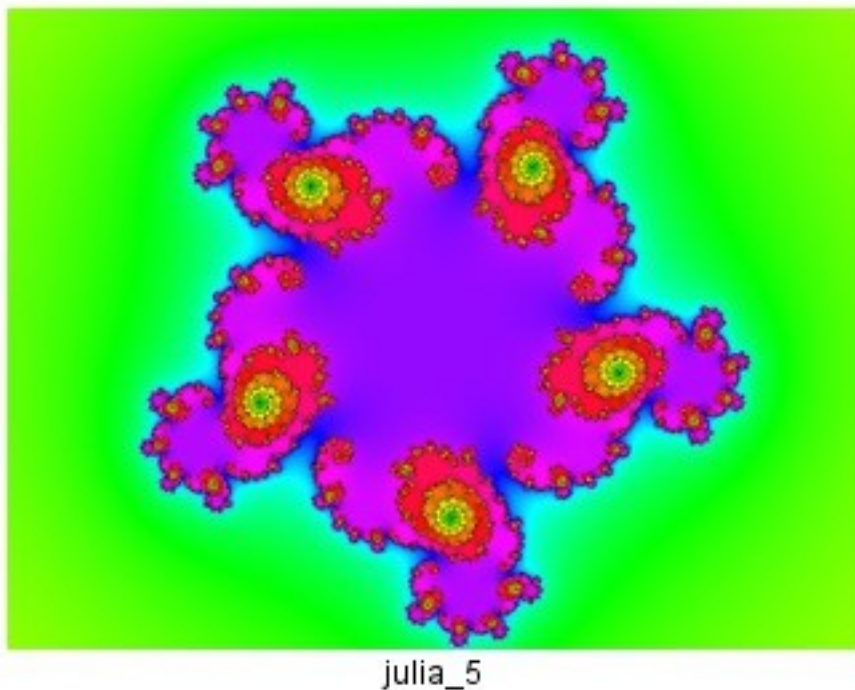
Exemples :



- **mandel\_3** ( $p = 3$ ) : 2 lobes (symétrie d'ordre 2). Pas de lobe sur Ox.
- **mandel\_4** ( $p = 4$ ) : 3 lobes (symétrie d'ordre 3). Un lobe sur Ox.

Les ensembles de Julia correspondants ont une symétrie d'ordre p.

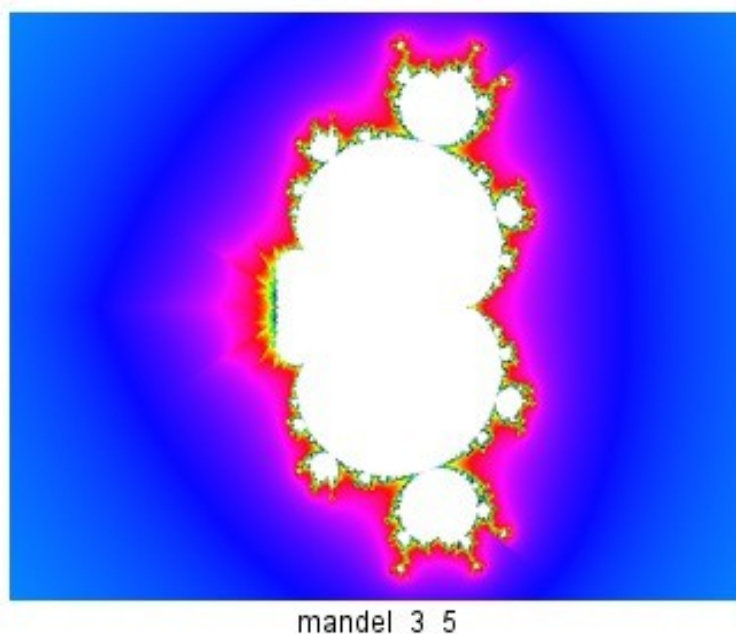
Exemple avec  $p = 5$  et  $c = (-0,5 ; 0,64)$  :



### 3.2. Cas d'un exposant non entier

Les figures présentent des discontinuités. En effet, comme nous l'avons vu dans la partie théorique,  $z^p$  peut prendre plusieurs valeurs. Les discontinuités s'expliquent par la nécessité de choisir une valeur unique en chaque point de l'image.

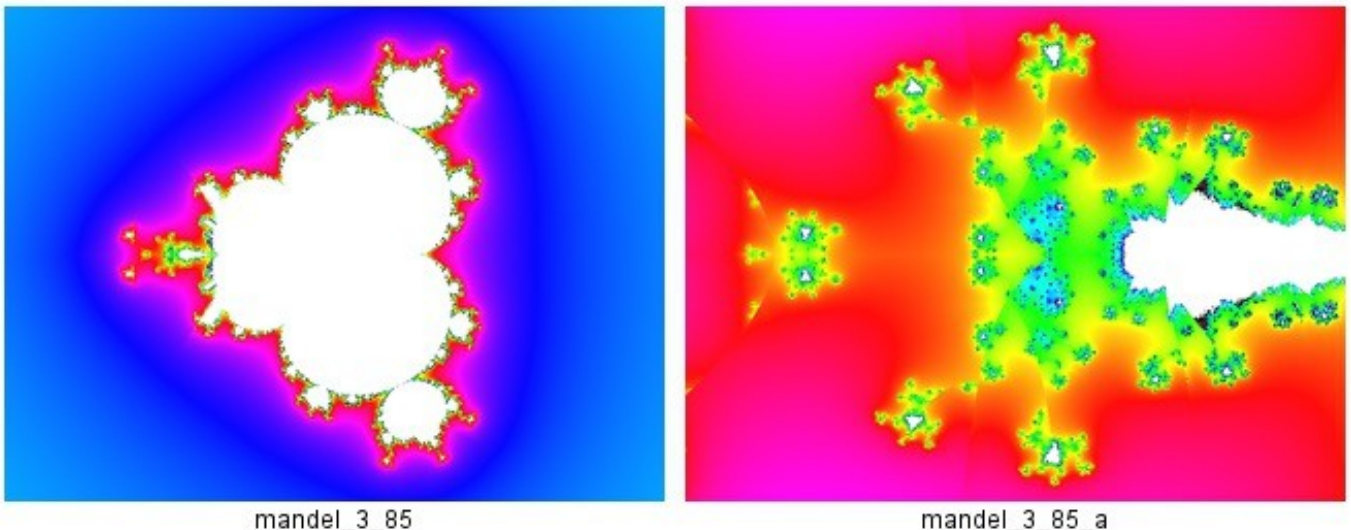
Exemple avec  $p = 3,5$  :



### 3.3. Transition d'un exposant impair vers un exposant pair

Il est intéressant d'étudier la transition d'un entier impair  $p$  vers un entier pair  $p+1$ , en passant par les valeurs intermédiaires. Cela se traduit par la formation progressive du lobe situé sur l'axe des  $x$ . Ce lobe se forme par fusion de multiples « bourgeons » qui se développent progressivement en s'entourant de motifs complexes.

Exemple avec  $p = 3,85$  :



- **mandel\_3\_85** : Une étape de la formation du lobe situé sur l'axe des  $x$ , à partir de plusieurs fragments.
- **mandel\_3\_85\_a** : Agrandissement ( $\times 10$ ) de l'image précédente, montrant quelques fragments et les motifs qui les entourent.

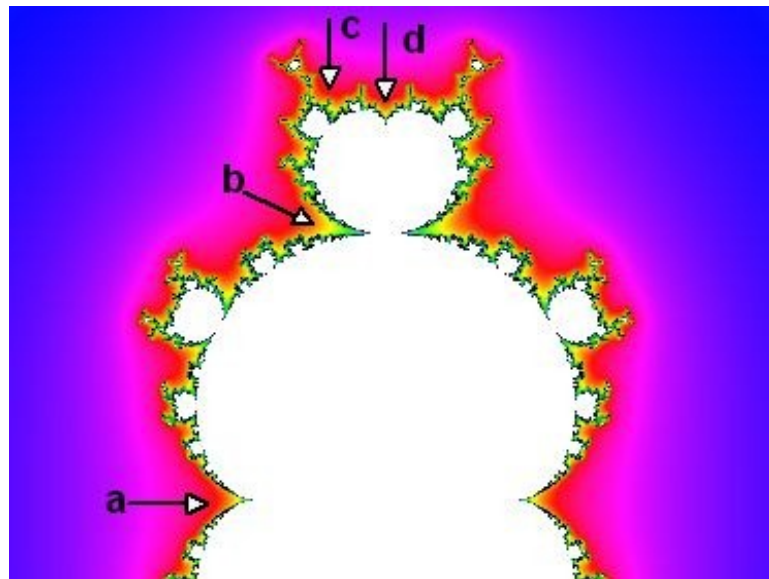
## 4. Le programme : mandelmult.bas

Le programme reprend l'organisation des précédents (article n° 1) sauf qu'ici les ensembles de Mandelbrot et Julia sont calculés dans le même programme, d'où la variable booléenne **Julia** qui prend la valeur **TRUE** lorsque l'un au moins des paramètres **cx** ou **cy** est non nul.

Lors de la sauvegarde les paramètres de l'image sont écrits dans un fichier CSV d'extension **.mult**

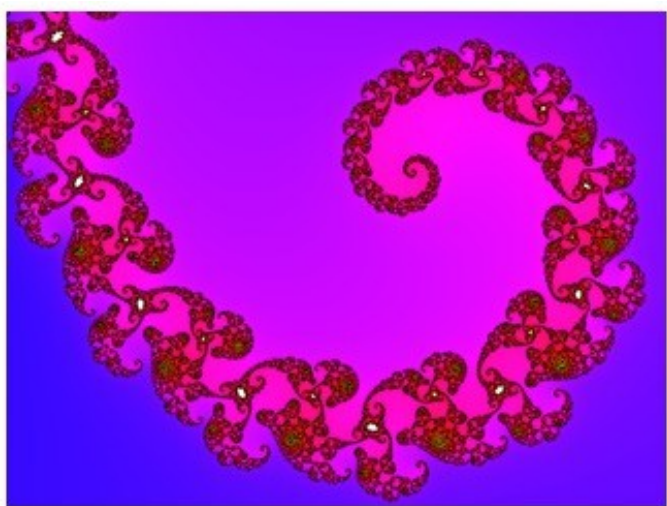
## **5. Exemples**

Nous prendrons comme exemple l'ensemble correspondant à  $p = 3$ , dont nous explorerons les différentes « vallées » notées **a**, **b**, **c**, **d** sur la figure ci-dessous :

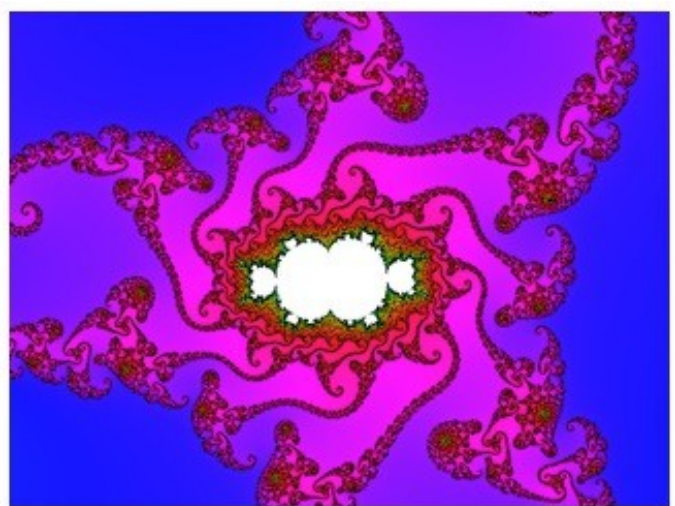


### 5.1. Vallée « a »

Cette région correspond à la « vallée des éléphants » de l'ensemble classique ( $p = 2$ ). Les images suivantes montrent une spirale et un mini-ensemble de Mandelbrot.



mandel\_3\_a1



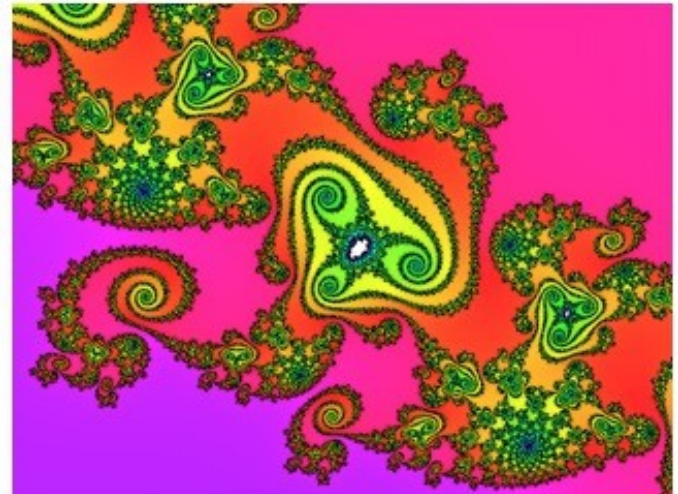
mandel\_3\_a2

## 5.2. Vallée « b »

Cette région correspond à la « vallée des hippocampes » de l'ensemble classique. Ici, une double spirale avec de nombreux mini-ensembles.



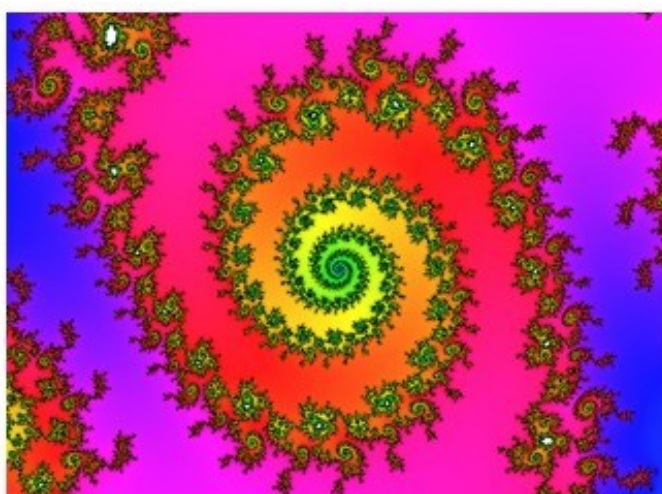
mandel\_3\_b1



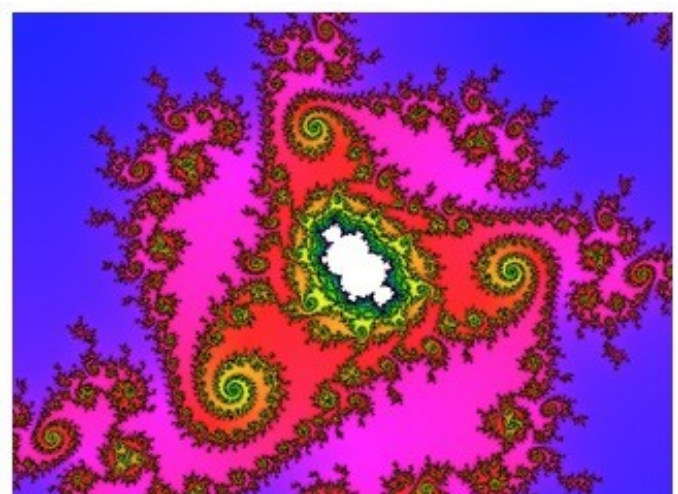
mandel\_3\_b2

## 5.3. Vallée « c »

Cette région correspond à la « vallée des sceptres » de l'ensemble classique. Tous les éléments montrent des « décos » en forme de sceptres.



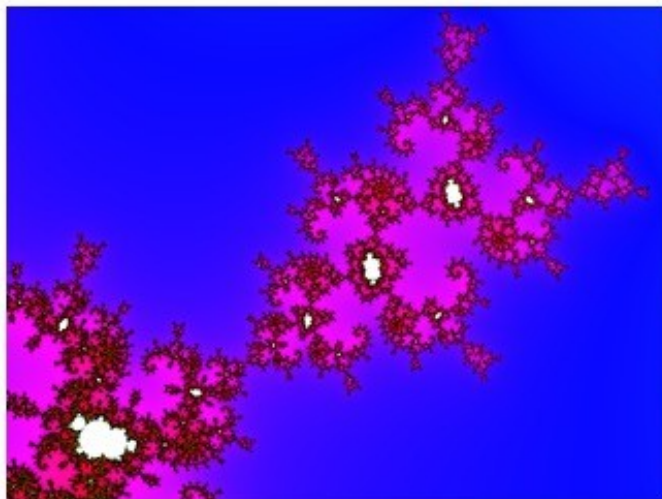
mandel\_3\_c1



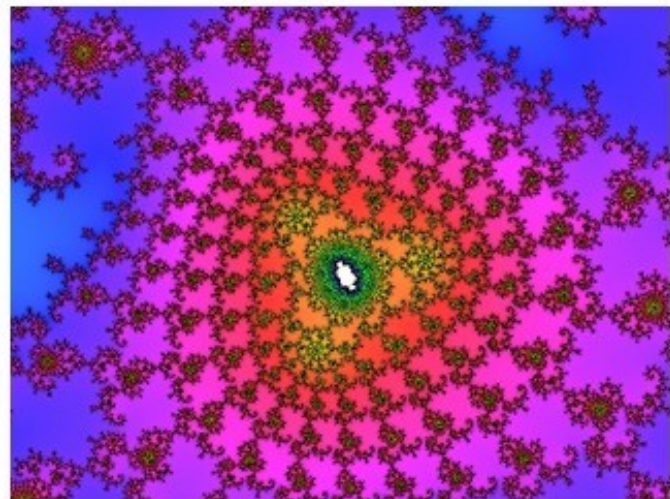
mandel\_3\_c2

#### 5.4. Vallée « d »

Cette région ressemble aussi à la « vallée des sceptres » mais les décorations y sont plus étendues et forment des « rosaces » aux enchevêtements complexes.



mandel\_3\_d1



mandel\_3\_d2

#### 6. Conclusion

Dans ce deuxième article consacré aux fractales, nous avons présenté une extension des ensembles de Mandelbrot et de Julia aux fonctions de type  $z^p + c$

Nous avons également introduit la notion très importante de « point critique ». Nous retrouverons cette notion par la suite.

Le prochain article sera consacré aux « mélanges » d'ensembles de Mandelbrot ou de Julia au moyen de la fonction  $f(z) = (1 - t) z^p + t z^q + c$ .

#### 7. Références

1. E. F. Glynn, *The evolution of the gingerbread man*, Computers & Graphics **15** (1991) 579-82.
2. J. C. Sasmor, *Fractals for functions with rational exponent*, Computers & Graphics **28** (2004) 601-615